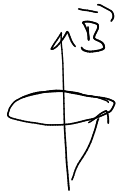


Aula 24 (22/Nov)

Na aula de hoje:

- * Revisão da aula anterior.
- * Experiência de Stern-Gerlach.
- * Precessão de Larmor.
- * Sistemas de dois núcleos.



—————//—————

Revisão das últimas aulas

* Aula 21:

- ▲ Propriedades da evolução temporal de sistemas quânticos.
- ▲ Revisões para Prova 1.

* Aula 22:

- ▲ Resolução de exercícios Folha 5

* Aula 23:

- ▲ Resolução de exercícios para Prova 1.

—————//—————

Capítulo 6: Aplicações dos postulados da MQ em sistemas de dois níveis

Neste capítulo vamos-nos centrar no estudo de sistemas quânticos com apenas dois níveis. Estes, por serem muito simples, permitir-nos-ão ressaltar vários aspectos cruciais discutidos no capítulo anterior.

6.1 Experiência de Stern-Gerlach

Átomos de prata (que têm momentos magnéticos) percorrendo regiões onde existe campo magnético não-uniforme.

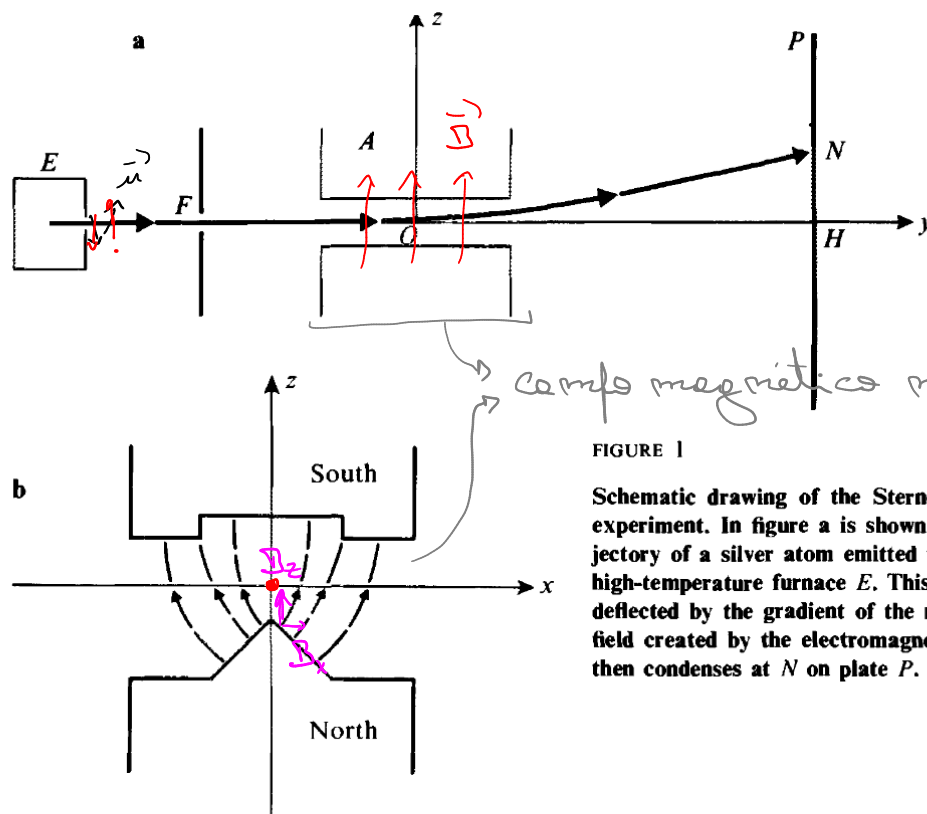


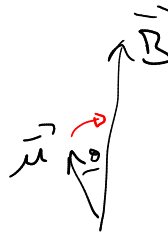
FIGURE 1

Schematic drawing of the Stern-Gerlach experiment. In figure a is shown the trajectory of a silver atom emitted from the high-temperature furnace E. This atom is deflected by the gradient of the magnetic field created by the electromagnet A and then condenses at N on plate P.

Figure b shows a cross section in the xOz plane of the electromagnet A; the lines of force of the magnetic field are shown in dashed lines. B_z has been assumed to be positive and $\partial B_z / \partial z$, negative. Consequently, the trajectory of figure a corresponds to a negative component M_z of the magnetic moment, that is, to a positive component of S_z (γ is negative for a silver atom).

6.1.1) Descrição clássica

Energia potencial de momento magnético num campo magnético


$$V = -(\vec{\mu} \cdot \vec{B})$$

→ campo magnético

↳ momento magnético

O momento magnético dos átomos de próteo será $\vec{\mu} = g \cdot \vec{L}$, onde \vec{L} é momento angular e g é razão giromagnética (para átomos de próteo $g < 0$).

↳ este \vec{L} pode ter duas origens:

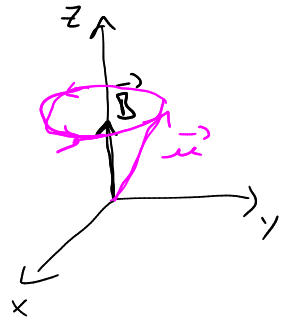
- momento angular orbital;
- momento magnético intrínseco dos electrões (spin).

Nota: Nos átomos de próteo, origem é o segundo caso, spin (apenas um electrão desemparelhado no orbital $5s$, que tem $l = 0$, momento angular orbital nulo).

A força sentida pelos átomos de próteo é obtida da energia potencial,

$$\vec{F} = - \vec{\nabla} V(\vec{r}) = - \vec{\nabla} (-\vec{\mu} \cdot \vec{B}) = \sum_{i,j=1}^3 + \mu_i \frac{\partial}{\partial x_j} B_i$$

Note: Os spins vão precessar em torno de \vec{B} , mas fá-lo-ão muito rapidamente, e por isso pode ser ignorado.
(em média, no tempo, spins apontam não ao longo de \vec{B}).



Assumindo estas aproximações podemos escrever

$$\vec{F} \approx + \vec{\nabla} (\mu_z B_z) = \mu_z \vec{\nabla} B_z$$

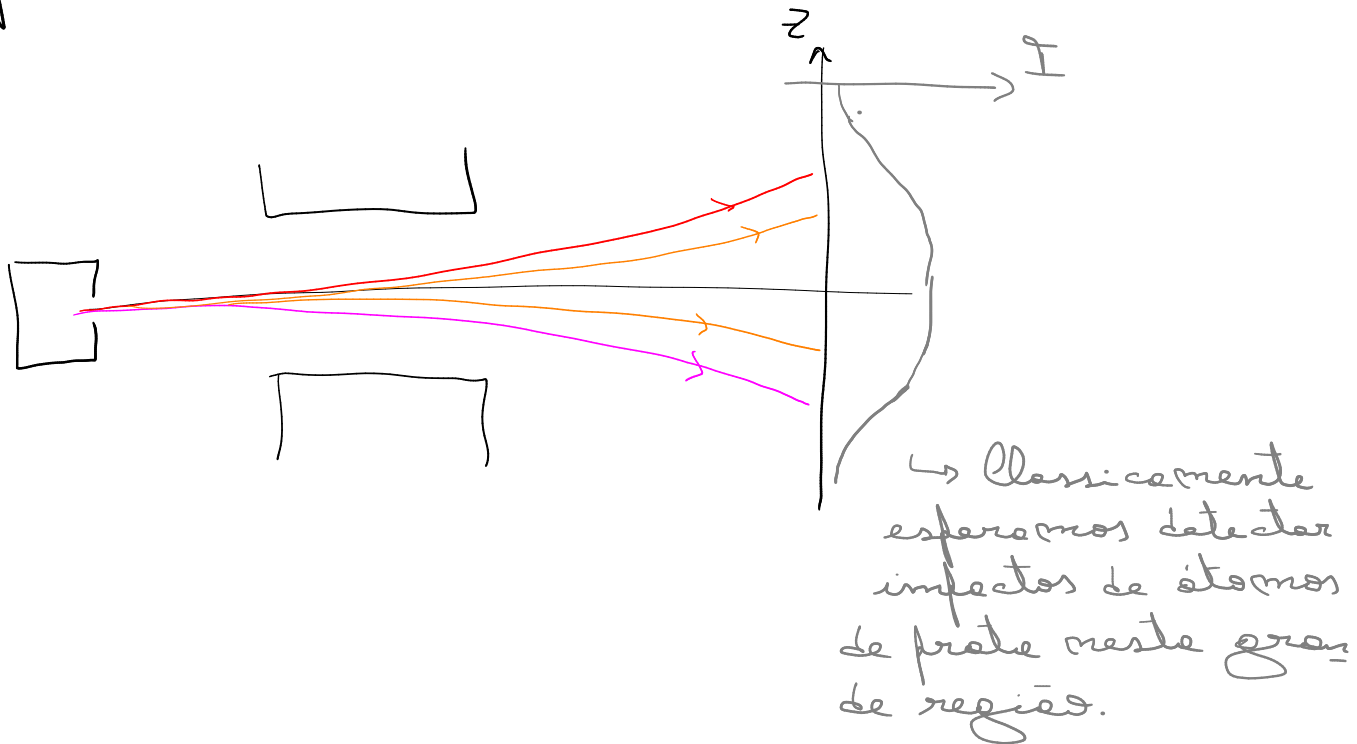
$$= \mu_z \left(\frac{\partial B_z}{\partial x}, \frac{\partial B_z}{\partial y}, \frac{\partial B_z}{\partial z} \right)$$

0 0 pois B_z não depende de y
 \hookrightarrow pois estamos no plano yOz .

$$\Rightarrow \vec{F} \approx \mu_z \cdot \frac{\partial B_z}{\partial z} \cdot \vec{e}_z$$

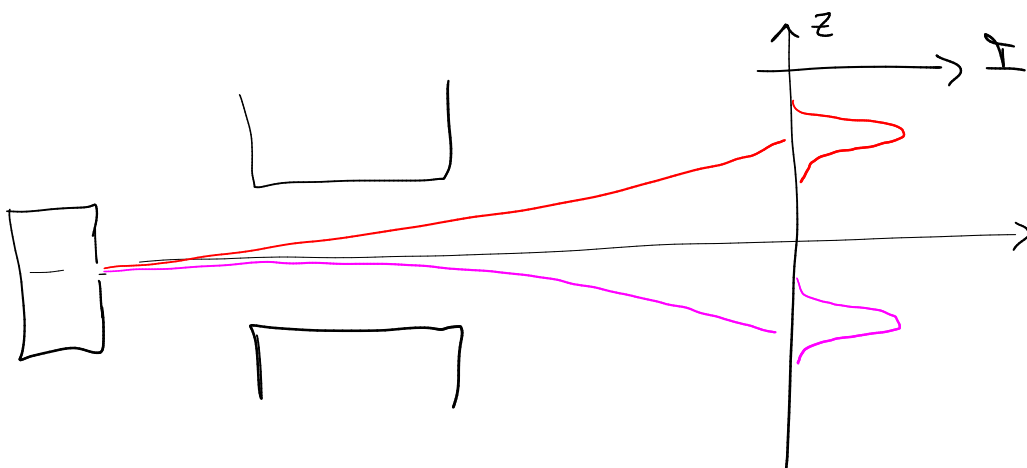
\hookrightarrow produz deflexão da trajetória dos íons de próte ao longo da direcção z , proporcionalmente ao componente μ_z .

Como átomos saem do forno a altas temperaturas, esperamos distribuições aleatórias de $\vec{\mu}$, logo esperamos $\mu_z \in [-|\vec{\mu}|, |\vec{\mu}|]$, e esperamos observar



6.1.2) Resultados experimentais

Não foi isto que Stern e Gerlach observaram. Eles observaram dois picos em torno dos valores $\mu_z \approx +|\vec{\mu}|$ e $\mu_z \approx -|\vec{\mu}|$



A conclusão é que átomos de prata só admitem duas direcções de momento magnético (que resulte do spin do último electrão valência):

$$\vec{\mu} = \pm |\vec{\mu}| \vec{e}_z$$

↳ ou momento magnético ao longo da direcção $+\vec{e}_z$ ou $-\vec{e}_z$ com magnitude $|\vec{\mu}|$.

6.1.3) Descrição quântica

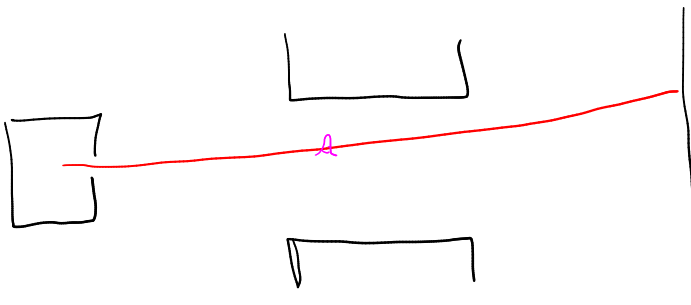
O espaço de estados será produto tensorial de \mathcal{E}_R e \mathcal{E}_S ,

↳ espaço estados de graus de liberdade internos (spin).

$$\mathcal{E} = \mathcal{E}_R \otimes \mathcal{E}_S$$

↳ espaço de estados de graus de liberdade externos (posição).

Nota: Podemos ignorar graus de liberdade externos (massa, \vec{r} , ...) pois o tamanho do pacote de ondas descrevendo posição dos átomos são muito pequenos relativamente a todas as outras escalas de comprimento do sistema



↳ sistema quântico bem descrito pelo valor esperado (pacote de ondas concentrado), cujas eqs de evolução são iguais às clássicas (T. Ehrenfest).

Vamos então fazer o tratamento quântico apenas dos graus de liberdade de spin.

Como $\vec{u} = \pm |\vec{u}| \hat{e}_z$, então vamos assumir que E_S tem dimensão 2. Vamos associar a L_z (momento angular dos elétrons de próto ao longo \hat{e}_z) o observável \hat{S}_z , com dois auto-estados não degenerados, $|+\rangle$ e $|-\rangle$

$$\hat{S}_z |+\rangle = +\frac{\hbar}{2} |+\rangle,$$

$$\hat{S}_z |-\rangle = -\frac{\hbar}{2} |-\rangle,$$

que $\langle +|+\rangle = \langle -|-\rangle = 1$ e $\langle +|-\rangle = 0$, logo é base ortonormal, $\{|+\rangle, |-\rangle\}$, de E_S , com relação fechada $|+\rangle\langle +| + |-\rangle\langle -| = \hat{1}$.

Podemos escrever \hat{S}_z matricialmente nesta base, $\{|+\rangle, |-\rangle\}$, como

$$\hat{S}_z = \frac{\hbar}{2} \begin{bmatrix} 1 & 0 \\ 0 & -1 \end{bmatrix}$$

$\begin{matrix} \nearrow \langle +|\hat{S}_z|+ \rangle \\ \nwarrow \langle -|\hat{S}_z| - \rangle \end{matrix}$

Temos duas outras observáveis associadas a L_x e L_y ,

$$\hat{S}_x = \frac{\hbar}{2} \begin{bmatrix} 0 & 1 \\ 1 & 0 \end{bmatrix},$$

$$\hat{S}_y = \frac{\hbar}{2} \begin{bmatrix} 0 & -i \\ i & 0 \end{bmatrix}.$$

Estas são escritas em termos das matrizes de Pauli,

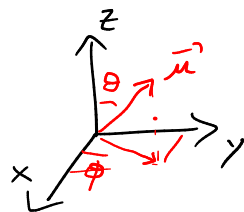
$$\sigma_x = \begin{bmatrix} 0 & 1 \\ 1 & 0 \end{bmatrix}, \quad \sigma_y = \begin{bmatrix} 0 & -i \\ i & 0 \end{bmatrix}$$

$$\text{e } \sigma_z = \begin{bmatrix} 1 & 0 \\ 0 & -1 \end{bmatrix}.$$

Note: As relações de comutação de $\hat{S}_x, \hat{S}_y, \hat{S}_z$ são as mesmas do momento angular orbital (Folha 4): $[\hat{S}_i, \hat{S}_j] = i\hbar \epsilon_{ijk} \hat{S}_k$.

Para momentos magnéticos com direcção arbitrária $\vec{\mu} = |\vec{\mu}| \cdot (\sin\theta \cos\phi, \sin\theta \sin\phi, \cos\theta)$ e podemos escrever

$$L_{\vec{\mu}} = \vec{L} \cdot \vec{\mu} = L_x \sin\theta \cos\phi + \\ + L_y \sin\theta \sin\phi + L_z \cos\theta,$$



podemos associar observável $\hat{S}_{\vec{\mu}}$ dada por

$$\hat{S}_{\vec{u}} = \frac{\hbar}{2} \begin{bmatrix} \cos \theta & \sin \theta e^{-i\phi} \\ \sin \theta e^{i\phi} & -\cos \theta \end{bmatrix}$$

$$= \hat{S}_x \sin \theta \cos \phi + \hat{S}_y \sin \theta \sin \phi + \hat{S}_z \cos \theta$$

Os auto-vals. de $\hat{S}_x, \hat{S}_y, \hat{S}_z$ são $\pm \frac{\hbar}{2}$. Os auto-vecs. são

$$* \hat{S}_z : |\pm\rangle$$

$$* \hat{S}_x : |\pm\rangle_x = \frac{1}{\sqrt{2}} (|+\rangle \pm |-\rangle)$$

$$* \hat{S}_y : |\pm\rangle_y = \frac{1}{\sqrt{2}} (|+\rangle \pm i|-\rangle)$$

sendo os auto-vecs de \hat{S}_u :

$$|+\rangle_u = \cos \frac{\theta}{2} e^{-i\phi/2} |+\rangle + \sin \frac{\theta}{2} e^{i\phi/2} |-\rangle$$

$$|-\rangle_u = -\sin \frac{\theta}{2} e^{-i\phi/2} |+\rangle + \cos \frac{\theta}{2} e^{i\phi/2} |-\rangle$$



O estado mais geral neste espaço de estados \mathcal{E}_S

$$|\psi\rangle = \alpha |+\rangle + \beta |-\rangle$$

com $|\alpha|^2 + |\beta|^2 = 1$.

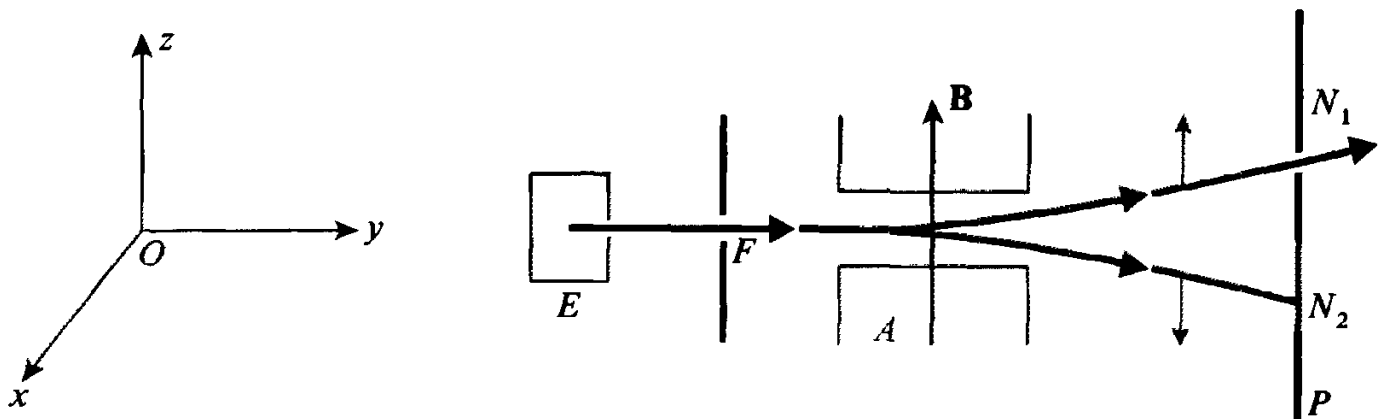
6.1.4) Medição spin

Antes de nos debruçarmos sobre algumas "experiências de pensamento" envolvendo este sistema, temos que ver como podemos preparar estados específicos.

6.1.4.1) Preparação de estado inicial

Preparação estados $|+\rangle$ ou $|-\rangle$

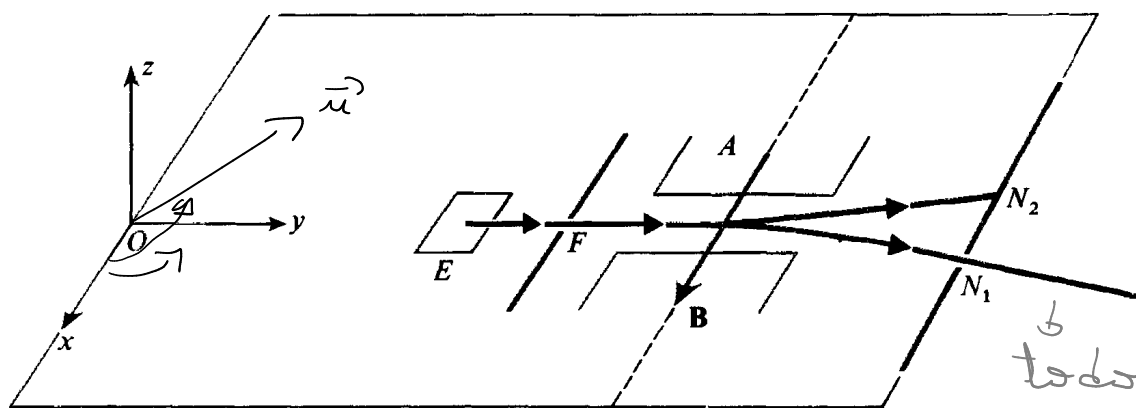
Podemos usar o aparato anterior com foco na região onde colidem átomos



Todos os que atravessarem P estão no estado $|\psi\rangle = |+\rangle \Rightarrow$ atua como um "polarizador de spin atômico"

Preparação estados $| \pm \rangle_x, | \pm \rangle_y, | \pm \rangle_u$:

Vamos usar aparato semelhante, no
condo apenas para direcção de intere-
sse.



↳ rotado para a
direcção \vec{e}_x

↳ todos no
estados $| + \rangle_x$

Preparação estado geral $| \psi \rangle$

$$| \psi \rangle = \alpha | + \rangle + \beta | - \rangle, \quad |\alpha|^2 + |\beta|^2 = 1,$$

Vamos ver que existe vector \vec{u}
tal que $| + \rangle_u = | \psi \rangle$

↳ Para vermos isto escrevemos

$$\alpha = |\alpha| \cdot e^{i\theta}$$

$$\beta = |\beta| \cdot e^{i\phi},$$

onde $|\alpha|^2 + |\beta|^2 = 1$. Como sabemos que $\sin^2 + \cos^2 = 1$, escolhemos

$$|\alpha| = \cos \frac{\theta}{2},$$

$$|\beta| = \sin \frac{\theta}{2},$$

que, como queremos $|\psi\rangle = |+\rangle_u$, podemos escolhermos $0 \leq \theta \leq \pi$.